



Corso Luigi Einaudi, 55 - Torino

**Appunti universitari**

**Tesi di laurea**

**Cartoleria e cancelleria**

**Stampa file e fotocopie**

**Print on demand**

**Rilegature**

NUMERO: 1871A -

ANNO: 2016

# **A P P U N T I**

STUDENTE: Faraci Alessio

MATERIA: Idraulica Teoria - prof. Ridolfi

Il presente lavoro nasce dall'impegno dell'autore ed è distribuito in accordo con il Centro Appunti.

Tutti i diritti sono riservati. È vietata qualsiasi riproduzione, copia totale o parziale, dei contenuti inseriti nel presente volume, ivi inclusa la memorizzazione, rielaborazione, diffusione o distribuzione dei contenuti stessi mediante qualunque supporto magnetico o cartaceo, piattaforma tecnologica o rete telematica, senza previa autorizzazione scritta dell'autore.

**ATTENZIONE: QUESTI APPUNTI SONO FATTI DA STUDENTIE NON SONO STATI VISIONATI DAL DOCENTE.  
IL NOME DEL PROFESSORE, SERVE SOLO PER IDENTIFICARE IL CORSO.**

# 1. Cos'è un fluido?

Fluido: entità che oppone pochissima resistenza alla deformazione (gas - liquidi)

↓ (cambiare forma)  
(non volume)

\* resistenza tende a zero se  $t$  di deformazione ↑  
↑ tempo

Conta nei fluidi la velocità di deformazione (→ legame tra sforzi e celerità delle deformazioni)

↳ 2 variabili indipendenti  $(x, t)$

↑ spazio    ↓ tempo

Liquidi: oppongono una grande resistenza alla variazione di volume  
(mentre per i gas non così alta)

↓  
mezzi discreti

monostante ciò → lo considero come se fosse un **CORPO CONTINUO**

• **DENSITÀ**  $\left[ \frac{\text{kg}_m}{\text{m}^3} \right]$   $\rho = \rho(\theta, \text{sforzi})$  ← equazione di stato  
per tempo

↑  
acqua 1000  $\text{kg}/\text{m}^3$   
↓  
aria  $\frac{1}{1000}$

dipende dalla

- temperatura
- dagli sforzi applicati ai fluidi

• **PESO SPECIFICO**  $\left[ \frac{\text{N}}{\text{m}^3} \right]$

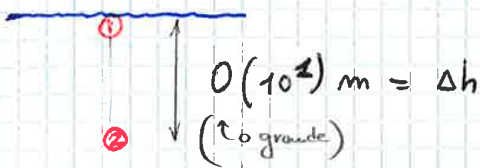
$$\gamma = \rho \cdot g$$

↑  
9.806  $\text{m}/\text{s}^2$

→ H<sub>2</sub>O  $\gamma_{\text{H}_2\text{O}} = 9806 \text{ N}/\text{m}^3$

→ mercurio  $\gamma_{\text{Hg}} \approx 133000 \text{ N}/\text{m}^3$

esempio: spostiamo 1 pezzo di fluido da 1 → 2 ⇒ subisce una  $\Delta p$



$$\Delta p = \gamma \Delta h \approx 10^4 \cdot 10^{-1} = 10^5 \text{ N/m}^2$$

$$\frac{\Delta V}{V} = -\frac{\Delta p}{E} \approx -\frac{10^5}{10^9} = 10^{-4} \Rightarrow \text{in 1 litro di H}_2\text{O} \Rightarrow V = 10^3$$

$$\Rightarrow \frac{\Delta V}{10^3} = 10^{-4} \Rightarrow \Delta V = 10^{-1}$$

Le variazioni di volume sono trascurabili

$$\Rightarrow \rho = \rho(\cancel{t}, \cancel{\text{sforzi}}) \Rightarrow \text{semplificando } \boxed{\rho \approx \text{cost}}$$

⇒ **FLUIDO INCOMPRESSIBILE**

↓ quando le "informazioni" si propagano dall'interno del fluido in maniera istantanea

### ● CELERITÀ DELLE ONDE DI PRESSIONE di un LIQUIDO

$$\boxed{c = \sqrt{\frac{E}{\rho}}}$$

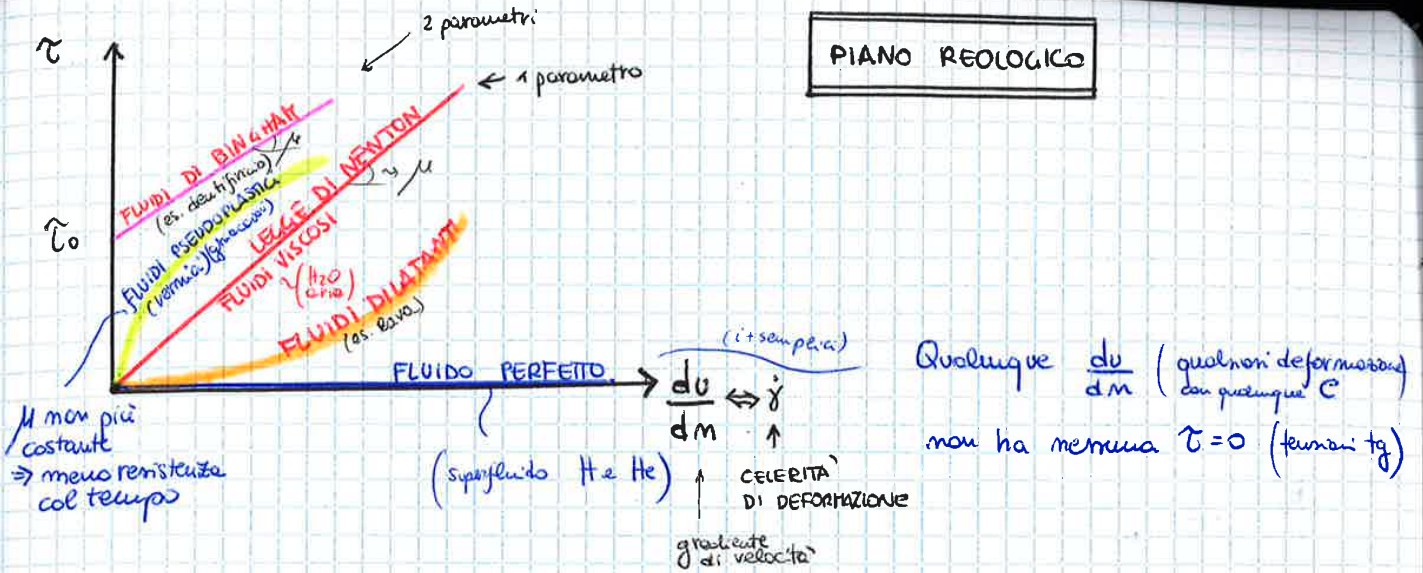
(↑ velocità del suono)

tanto +  $E \uparrow \Rightarrow$  tanto +  $c \uparrow$   
 $\Rightarrow$  si propaga + velocemente

H<sub>2</sub>O propaga le onde di pressione > dell'aria perché  $E \gg$  nonostante abbia  $\rho > \rho_{\text{aria}}$

Se dico che  $\rho = \text{cost}$  vuol dire che  $E \rightarrow \infty$  allora qualunque  $\Delta p$  applico le variazioni di volume sono infinitesime

$\rho = \text{cost}$  se  $\left\{ \begin{array}{l} \text{tempi di percorrenza della propagazione delle onde di pressione piccolissimi} \\ c \rightarrow \infty \quad (\text{ovvero } E \rightarrow \infty \Rightarrow \rho \rightarrow \text{cost}) \end{array} \right.$



**FLUIDI TIXOTROPICI** { anche se li deformato con lo stesso o diverso sforzo  
 $\mu = \mu(t)$  ← non dagli sforzi  
 ↑ tempo → conta anche quello che è successo nel passato  
 $\mu$  per  $t \uparrow$   $\mu \downarrow$

**FLUIDI REOPECTICI** { col  $t \uparrow$   $\mu \uparrow$

**FLUIDI (altri)** {  $\dot{\gamma} \propto \frac{\tau}{\mu} + \frac{\dot{\tau}}{G}$   $\Rightarrow \tau = f(\dot{\gamma})$

in generale { LIQUIDI  $\theta \uparrow$   $\mu \downarrow$   
 GAS  $\theta \uparrow$   $\mu \uparrow$

$[\mu] = \left[ \frac{Ns}{m^2} \right]$

• VISCOSITÀ CINEMATICA

$\nu = \frac{\mu}{\rho}$   $[\nu] = \left[ \frac{m^2}{s} \right]$

$\mu_{H_2O} > \mu_{aria}$
$\nu_{H_2O} < \nu_{aria}$
$10^{-6}$ $10^{-5}$

$$d\vec{\Pi}_m = d\Omega \vec{\Phi}_m \quad (\text{infinitesimo del secondo ordine})$$

→ le forze di massa non contano, ma solo quelle di superficie

$$\begin{cases} d\vec{\Pi}_x = \vec{\Phi}_x \underbrace{(-d\Omega \cos \hat{m}x)}_{d\Omega_x} \\ d\vec{\Pi}_y = \vec{\Phi}_y (-d\Omega \cos \hat{m}y) \\ d\vec{\Pi}_z = \vec{\Phi}_z (-d\Omega \cos \hat{m}z) \end{cases}$$

perché in entrante, cos angolo ottuso negativo ma orient. deve essere  
Se prendiamo normali sugli assi (x, y, z)

$$\vec{\Phi}_m d\Omega - \vec{\Phi}_x d\Omega \cos \hat{m}x - \vec{\Phi}_y d\Omega \cos \hat{m}y - \vec{\Phi}_z d\Omega \cos \hat{m}z = 0$$

$$\vec{\Phi}_m = \vec{\Phi}_x \cos \hat{m}x + \vec{\Phi}_y \cos \hat{m}y + \vec{\Phi}_z \cos \hat{m}z$$

TEOREMA DEL TETRAEDRO DI CAUCHY

↳ servono 3 informazioni vettoriali  $(\vec{\Phi}_x, \vec{\Phi}_y, \vec{\Phi}_z)$   
 ⇓  
 ovvero 9 informazioni scalari

Componenti di  $\vec{\Phi}_m$

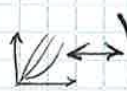
$$\begin{aligned} \phi_{mx} &= \phi_{xx} \cos \hat{m}x + \phi_{yx} \cos \hat{m}y + \phi_{zx} \cos \hat{m}z \\ \phi_{my} &= \phi_{yy} \cos \hat{m}y + \phi_{zy} \cos \hat{m}z + \phi_{xy} \cos \hat{m}x \\ \phi_{mz} &= \phi_{zz} \cos \hat{m}z + \phi_{xz} \cos \hat{m}x + \phi_{yz} \cos \hat{m}y \end{aligned}$$

↓  
 può essere riscritta in maniera compatta in forma matriciale

## 2. LA STATICA

### TEOREMA del TETRAEDRO di CAUCHY

$$\vec{\phi}_m = \vec{\phi}_x \cos \hat{m}_x + \vec{\phi}_y \cos \hat{m}_y + \vec{\phi}_z \cos \hat{m}_z$$

Nella statica il vettore di velocità  $\vec{u} = 0 \Rightarrow \frac{du}{dm} = 0 \Rightarrow \dot{\delta} = 0$   
 $\Downarrow$   
 (riguardo grafico ) le tensioni tangenziali sono zero

STATICA  $\Rightarrow \phi_{ij} (i \neq j) \quad \phi_{xy} = \phi_{yx} = \phi_{zy} = 0$

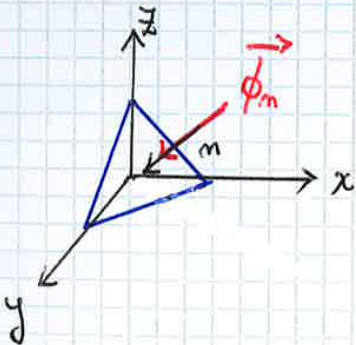
$\Downarrow$   
 Tensore diagonale  $\Rightarrow \begin{pmatrix} p & 0 & 0 \\ 0 & p & 0 \\ 0 & 0 & p \end{pmatrix} \rightarrow$  tutti gli autovalori uguali  $\rightarrow p =$  pressione

$\Downarrow$   
 il tensore degli sforzi nella statica si riconduce ad uno scalare  $p$

$\Rightarrow$  STATO di tensione ISOTROPO  
 (esistono solo gli sforzi normali e non tangenziali)

### dim.

- proiettiamo il Teo del Tetraedro lungo  $x$



poiché  $\tau = 0 \Rightarrow \phi_m$  è allineato con la direzione  $m$

1)  $\phi_{mx} = \phi_m \cos \hat{m}_x = \phi_{xx} \cos \hat{m}_x + 0 + 0$   $\leftarrow \begin{matrix} \phi_y \text{ non da contributo} \\ \phi_z \text{ non da contributo} \end{matrix}$   
 $\Rightarrow \phi_{mx} = \phi_m \cos \hat{m}_x = \phi_{xx} \cos \hat{m}_x$

2)  $\phi_{my} = \phi_m \cos \hat{m}_y = 0 + \phi_{yy} \cos \hat{m}_y + 0$

3)  $\phi_{mz} = \phi_m \cos \hat{m}_z = 0 + 0 + \phi_{zz} \cos \hat{m}_z$

→ stessa cosa vale lungo l'asse  $y$  e  $z$

$$y) \quad p dx dz - \left( p + \frac{\partial p}{\partial y} dy \right) dx dz = - \frac{\partial p}{\partial y} dy dx dz$$

$$z) \quad p dx dy - \left( p + \frac{\partial p}{\partial z} dz \right) dy dx = - \frac{\partial p}{\partial z} dx dy dz$$

è tutto fermo? Sì, queste forze devono farsi equilibrio

$$\cancel{\rho dx dy dz} \cdot \vec{F} - \left( \frac{\partial p}{\partial x} \vec{i} + \frac{\partial p}{\partial y} \vec{j} + \frac{\partial p}{\partial z} \vec{k} \right) \cancel{dx dy dz} = 0$$

↙ Statica  
 ↕ altrimenti F ineq.

$$\boxed{\rho \vec{F} = \nabla p}$$

equazione indefinita ← come varia  $p$  della statica dei fluidi nello spazio

(forza peso → se  $\vec{F}$  ammette potenziale ⇒  $\rho \text{grad } U = \text{grad } p$ )

Se il campo di  $F$  di massa ammette potenziale le superfici equipotenziali ≡ quelle isobare

Hp) se il fluido è incomprimibile ⇒  $\rho = \text{cost}$

↓  
lo posso portare dentro e fuori dalle derivate

$$\Rightarrow \boxed{\vec{F} = \text{grad } \frac{p}{\rho}}$$

⇒ Se il fluido è incomprimibile in statica la forza  $\vec{F}$  (di massa) ammette potenziale =  $\frac{p}{\rho}$

$$\Rightarrow \vec{P} = -\vec{F}_c$$

equazione globale

forze al contorno si equilibrano con le forze di massa

ipotesi 1

$\vec{F}$  è fatta soltanto dalla forza di gravità

$$\vec{F} = \text{grad}(-g z)$$

dimensione di una accelerazione



ipotesi 2

Supponiamo che il fluido è incomprimibile

$$\rho = \text{cost}$$

$$\Rightarrow \rho \text{ grad}(-g z) = \text{grad } p \quad \leftarrow H_{p1}$$

$$-g \rho \text{ grad } z = \text{grad } p$$

$$-g \text{ grad } z = \text{grad } p$$

$$-g \text{ grad } z = \text{grad} \left( \frac{p}{\rho} \right) \quad \downarrow H_{p2}$$

per la proprietà lineare del gradiente

$$\text{grad} \left( z + \frac{p}{\rho} \right) = 0$$

è cost in tutta la massa fluida  $\rightarrow h = \text{carico piezometrico}$

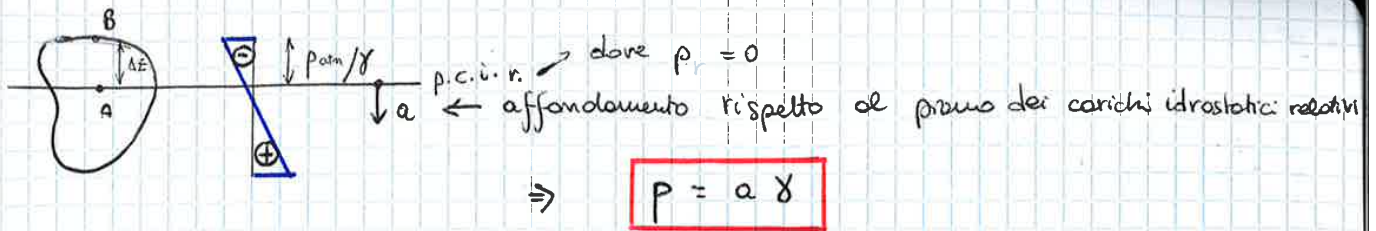
$$\Rightarrow \text{grad } h = 0$$

LEGGE DI STEVINO

$$H = z + \left( \frac{p}{\rho} \right)$$

quota geodetica

quota piezometrica (ha le dimensioni di 1 lunghezza) e 1 pressione



$$p_{a,B} = p_{a,A} + \gamma \Delta z$$

↑ assoluta

$$p_{r,B} = p_{r,A} + \gamma \Delta z$$

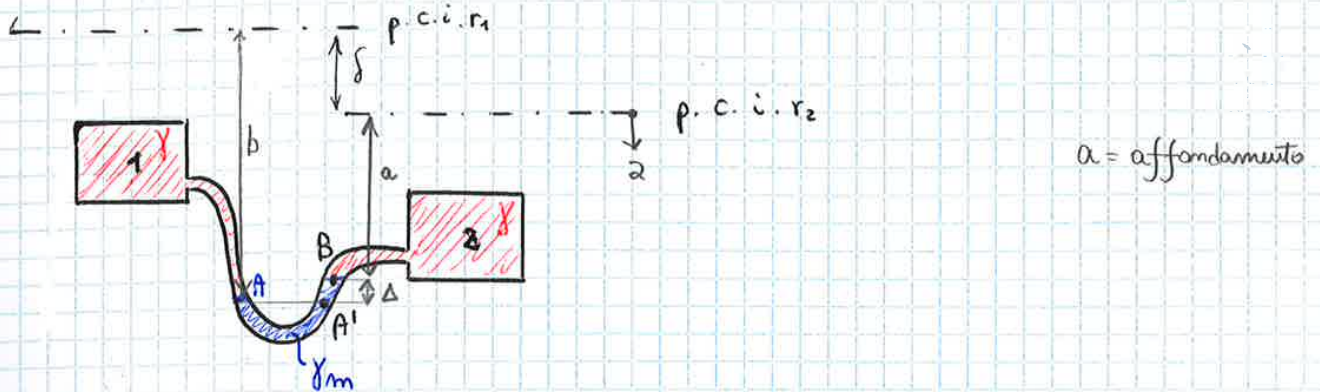
$$0 = p_{a,A} + \gamma \Delta z$$

↑  $p_{atm}$

$\left( -\frac{p_{atm}}{\gamma} \right) \rightarrow$  max perché  $p_{ass} = 0$   
 oltre  $p_{ass} \ominus$  e non ha senso

$$\left\{ \begin{array}{l} \frac{p_{atm}}{\gamma} = 10,33 \text{ m} \rightarrow \text{per } H_2O \\ \frac{p_{atm}}{\gamma} = 76 \text{ cm} \rightarrow \text{per } Hg \end{array} \right\}$$

• MANOMETRI DIFFERENZIALI



$$b = a + \delta + \Delta$$

$$p_A = \gamma b = \gamma (a + \delta + \Delta)$$

poiché equip.  $\Rightarrow$  isobariche  $p_A = p_{A'}$

$$p_{A'} = p_B + \Delta \gamma_m$$

$$p_B = a \cdot \gamma \quad \Rightarrow \quad p_{A'} = a \gamma + \Delta \gamma_m$$

$$p_A = p_{A'} \quad \Rightarrow \quad \gamma (a + \delta + \Delta) = a \gamma + \Delta \gamma_m$$

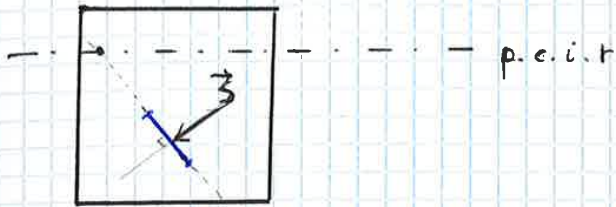
$$\delta = \frac{\gamma_m - \gamma}{\gamma} \Delta$$

$$\left\{ \delta > \Delta \text{ sempre} \right\}$$

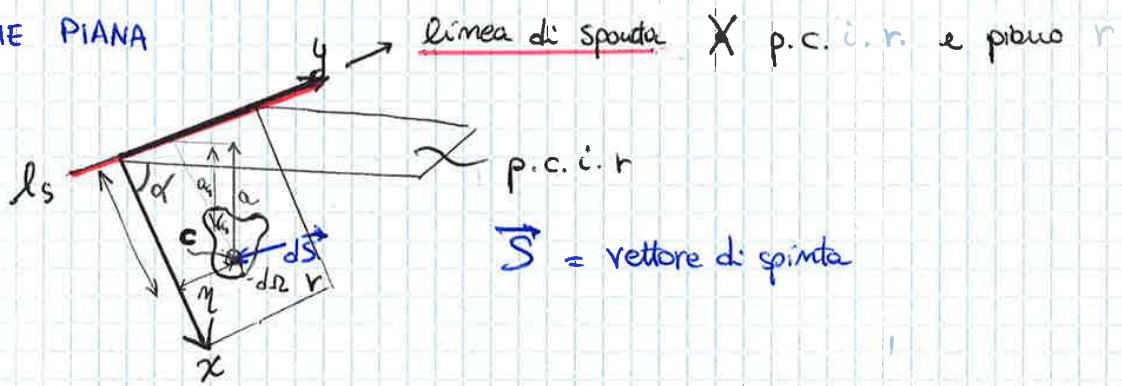
$$\Rightarrow p_1 + \gamma_2 \Delta = p_1 + \gamma_1 \Delta$$

$$\gamma_2 \Delta = \gamma_1 \Delta \Rightarrow \Delta = 0 \text{ necessariamente} \Rightarrow \text{ORIZZONTALE}$$

Qual'è la spinta esercitata su una superficie piana?



1) SUPERFICIE PIANA



forza      sforzo per area      affondamento rispetto p.c.i.r.

$$|d\vec{S}| = p \cdot d\Omega = \gamma a \cdot d\Omega = \gamma \cdot x \text{ sen } \alpha \cdot d\Omega$$

$$\Rightarrow |d\vec{S}| = \int_{\Omega} \gamma x \text{ sen } \alpha \cdot d\Omega = \gamma \text{ sen } \alpha \int_{\Omega} x \cdot d\Omega$$

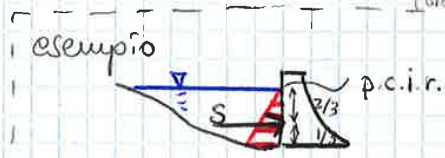
$$= \gamma \text{ sen } \alpha \cdot \Omega \cdot x_G$$

affondamento del baricentro

$$= \gamma \cdot \Omega \cdot a_G$$

$p_G$

↑ momento statico  $M_s = \Omega \cdot x_G$  (area)

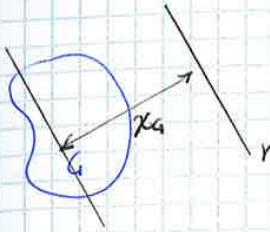


$$|d\vec{S}| = p_G \cdot \Omega$$

ovvero  $S = p_G \cdot \Omega = \gamma h_G \cdot \Omega$   
 → applicata nel baricentro del volume delle pressioni  
 (come  $h \downarrow \Delta_c \leftarrow \frac{1}{3} h$ ) ⇒ nel CENTRO DI SPINTA C

tutte le sup. che hanno lo stesso G ⇒ hanno lo stesso modulo a parità di  $\Omega$

TEOREMA DI HUYGHENS - della TRASPOSIZIONE



$$I_r = I_{r0} + x_G^2 \Omega$$

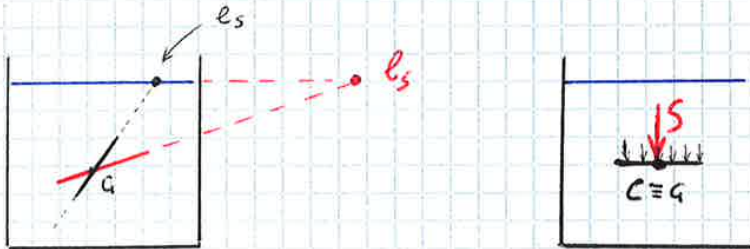
↑ parallela alla retta dato r che passa nel c

applicandola a psi  $\varphi = \frac{I_y}{M_s} = \frac{I_{y0} + x_G^2 \Omega}{x_G \Omega} = \frac{I_{y0}}{x_G \Omega} + x_G = \frac{I_{0y} + x_G M_s}{M_s}$

da questo deduco che C (centro di spinte) sta sempre sotto rispetto G

OSSERVAZIONI

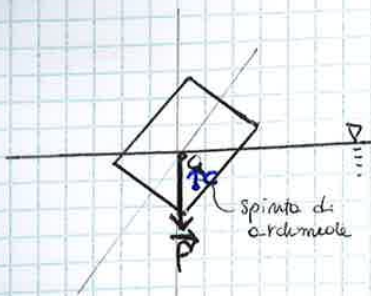
- Se la superficie è // al p.c.i. cosa succede?



se ruoto la superficie  $\Rightarrow M_s$  aumenta  $\Rightarrow$  al tendere di  $M_s \rightarrow \infty \Rightarrow C \equiv G$   
 quando superficie // al p.c.i.

- non conta la massa ma solo p.c.i. (perchè spostando il punto variabile premo)

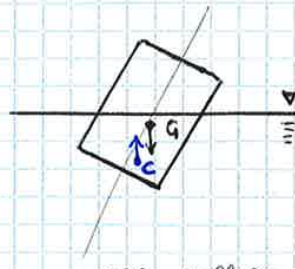




per oscillazioni  
 ⇒ nasce una coppia stabilizzatrice

Resiste alle perturbazioni

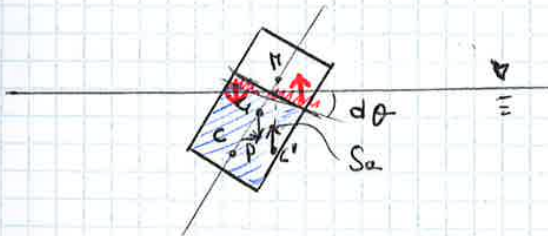
SOLUZIONE STABILE



per oscillazioni  
 ⇒ nasce una coppia destabilizzante

Non resiste alle perturbazioni

SOLUZIONE NON STABILE



M = metacentro

CONDIZIONE DI STABILITÀ

$$\overline{CM} > \overline{GC}$$

C = centro di carena

$\overline{CG}$  è noto

Come calcolo  $\overline{CM}$ ?

- 1) Spinta di Archimede applicata in C
- 2) " " " " in C'

} Coppia causata dallo spostamento della Sa parallelamente dovuta ai 2 centri

⇒ il momento tra C e C' = momento tra la coppia ↓↑

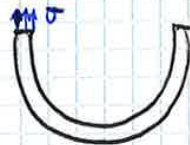
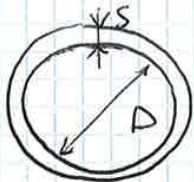
questa coppia trasla Sa da C a C' 25

distanza metacentrica

$$d_H = \bar{CM} - \bar{CG}$$

$\uparrow d_H \Rightarrow \uparrow$  stabilità

**FORMULA DI MARIOTTE**

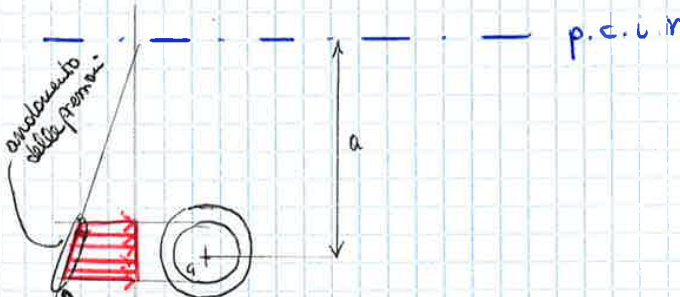


$D \gg S$  ← sotto queste ipotesi

$\exists$  1 unico valore di  $\sigma$

Supponiamo che l'affondamento  $a \gg D$

$\Rightarrow$  le scale spaziali di mio interesse  $D \ll$  scale usate (realmente) per conoscere il gradiente per conoscere il gradiente



gradiente molto piccolo

$\Rightarrow$  lo posso approssimare  $\rightarrow$   
 $\Rightarrow$  pressure stesse ovunque



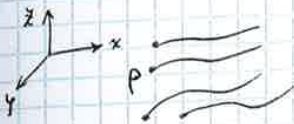
fine

27

### 3. CINEMATICA

#### • Approccio LAGRANGIANO

Considero il fluido composto da particelle che si muovono nello spazio e considero la traiettoria che percorrono (e descrivo)



$P(x_0, y_0, z_0)$  in  $t_0$

$$\Rightarrow \begin{cases} x = x(t, x_0, y_0, z_0, t_0) \\ y = y(t, x_0, y_0, z_0, t_0) \\ z = z(t, x_0, y_0, z_0, t_0) \end{cases}$$

#### • Approccio EULERIANO

Ad ogni istante descrivo in ogni punto il vettore velocità indipendentemente dalla particella che sta passando



Da il campo di moto  
(ovvero il vettore velocità)  
→ campo di velocità

$$\vec{u} = u\vec{i} + v\vec{j} + w\vec{k}$$



$$\begin{cases} u = u(x, y, z, t) \\ v = v(x, y, z, t) \\ w = w(x, y, z, t) \end{cases}$$

$$\Rightarrow \lim_{\Delta t \rightarrow 0} \left[ \frac{\vec{u}_B(t+\Delta t) - \vec{u}_A(t)}{\Delta t} + \frac{\vec{u}_B(t) - \vec{u}_A(t)}{\Delta t} \frac{\Delta s}{\Delta s} \right]$$

↓  
variazioni locali  
in 1 punto di  $\vec{u}$

$$= \frac{\partial \vec{u}}{\partial t} + \lim_{\Delta t \rightarrow 0} \underbrace{\frac{\vec{u}_B(t) - \vec{u}_A(t)}{\Delta s}}_{\frac{\partial \vec{u}}{\partial s}} \cdot \underbrace{\frac{\Delta s}{\Delta t}}_{|\vec{u}|}$$

↑  
come cambia la  
velocità nello spazio

$$\vec{A} = \frac{\partial \vec{u}}{\partial t} + \frac{\partial \vec{u}}{\partial s} |\vec{u}| = \frac{D \vec{u}}{D t}$$

ACCELERAZIONE  
LOCALE  
(non segue le  
particelle)

ACCELERAZIONE  
CONVETTIVA

derivata sostanziale o EULERIANA

$$\vec{A} = \frac{\partial \vec{u}}{\partial t} + u \frac{\partial \vec{u}}{\partial x} + v \frac{\partial \vec{u}}{\partial y} + w \frac{\partial \vec{u}}{\partial z} \rightarrow \text{riferita alle coordinate cartesiane}$$

In generale  $\rightarrow$  DERIVATA EULERIANA (come varia qualcosa seguendo la particella)

$$\frac{D \cdot}{D t} = \frac{\partial \cdot}{\partial t} + u \frac{\partial \cdot}{\partial x} + v \frac{\partial \cdot}{\partial y} + z \frac{\partial \cdot}{\partial z}$$

t)

(3) LINEE DI FUTURO

luogo dei punti nel tempo che in 1 certo istante sono parate per lo stesso punto



CLASSIFICAZIONE DEL MOTO

• MOTO VARIO

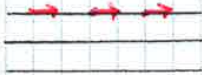
Varia nello spazio e nel tempo

• MOTO PERMANENTE

$$\frac{\partial \mathbf{v}}{\partial t} = 0 \quad \frac{D \mathbf{v}}{Dt} \neq 0$$

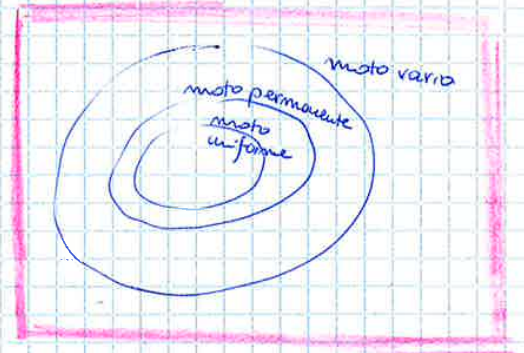
no variazioni temporali  
ma spaziali

• MOTO UNIFORME



(si variazioni spaziali)

il vettore velocità non  
varia lungo la traiettoria  
stessa, ma può variare  
se varia la traiettoria



$$\cancel{dx dy dz dt} \left[ \frac{\partial \rho u}{\partial x} + \frac{\partial \rho v}{\partial y} + \frac{\partial \rho w}{\partial z} \right] = - \frac{\partial \rho}{\partial t} \cancel{dt dx dy dz}$$

$$\underbrace{\hspace{10em}}_{\text{div}(\rho \vec{u})}$$

$\text{div}(\rho \vec{u}) + \frac{\partial \rho}{\partial t} = 0$

**EQUAZIONE DI CONTINUITÀ** (1 vincolo solo  $x_{k,i}$ )  
 eq. scalare  
 ↳ pone un vincolo al campo di moto

↑ vera  $\forall$  punto → il campo di moto non fa tutto quello che vuole  $x_{k,i}$  non si devono creare buchi

$$\frac{\partial \rho}{\partial t} + \vec{u} \text{div} \rho + \rho \text{div} \vec{u}$$

$$\frac{\partial \rho}{\partial t} + \vec{u} \frac{\partial \rho}{\partial x} + \vec{v} \frac{\partial \rho}{\partial y} + w \frac{\partial \rho}{\partial z} = \frac{D\rho}{Dt}$$

⇒ 

$\frac{D\rho}{Dt} + \rho \text{div} \vec{u} = 0$

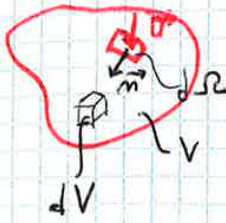
se fluido incompressibile  $\rho = \text{cost}$

$\text{div} \vec{u} = 0$

**EQ. CONTINUITÀ PER UN FLUIDO INCOMPRESSIBILE**

↑ campo vettoriale è solenoidale ⇒ assicurare che non ci sono buchi

## EQ. GLOBALE DI CONTINUITÀ



$$\rho v_m dt d\Omega = \rho \vec{u} \cdot \vec{m} dt d\Omega$$

$$\int_{\Omega} \rho \vec{u} \cdot \vec{m} d\Omega dt = dt \int_{\Omega} \rho \vec{u} \cdot \vec{m} d\Omega$$

$dV \rightarrow$  ogni elemento infinitesimo contiene una massa  $\rho dV$  in tutto  $V$ ?

$$\int_V \rho dV$$

$$\frac{\partial}{\partial t} \left[ \int_V \rho dV \right] dt = \left[ \int \frac{\partial \rho}{\partial t} dV \right] dt$$

$$\rightarrow \cancel{dt} \int_{\Omega} \vec{u} \cdot \vec{m} d\Omega = \int_V \frac{\partial \rho}{\partial t} dV \cancel{dt}$$

↑  
superficie

$$\Rightarrow \boxed{\int_{\Omega} \vec{u} \cdot \vec{m} d\Omega = \int_V \frac{\partial \rho}{\partial t} dV} \quad \text{EQ. GLOBALE}$$

se fluido incompressibile

$$\rho = \text{cost}$$

$$\boxed{\int_{\Omega} \vec{u} \cdot \vec{m} d\Omega = 0 = \int_{\Omega} v_m d\Omega}$$

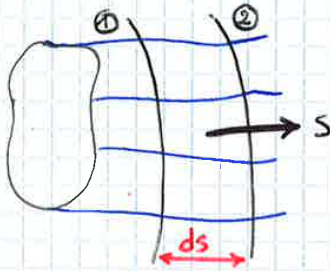
## CORRENTE

moto dei fluidi le cui traiettorie sono rettilinee e parallele



(in realtà mai così → ma ingegneristicamente posso approssimare)

## EQUAZIONE DI CONTINUITÀ DELLE CORRENTI



Scelgo un tratto di lunghezza  $ds$  di corrente

Considero nella superficie ① una portata  $Q$  che moltiplicata per la densità e  $dt$  ottengo la massa che entra attraverso 1

$$\rho Q dt \quad \text{①}$$

Nella superficie ② ho la stessa portata  $Q$  più un salto  $ds$

$$\left( \rho Q + \frac{\partial(\rho Q)}{\partial s} ds \right) dt$$

Differenza tra ciò che entra e ciò che esce:

$$\text{②} - \text{①}$$

$$\boxed{\frac{\partial(\rho Q)}{\partial s} ds dt} \quad (1)$$

Poiché non è un fluido incomprimibile, la  $\rho$  può variare, dunque:

$$\rho \Omega ds$$

con  $\rho$  media e  $\Omega$  media  
↓  
sono quelle che nel tempo possono cambiare

## Ricapitolando sulla CINEMATICA

- Approccio Euleroiano / Lagrangiano
- Introduzione di  $\frac{D \cdot}{Dt}$
- Famiglie di linee e tipi di moto
- Tubo di flusso  $\rightarrow$  portata  $Q$
- Equazione di continuità
- Correnti

si ottiene:

$$\rho(\vec{F} - \vec{A}) = \frac{\partial \bar{\phi}_x}{\partial x} + \frac{\partial \bar{\phi}_y}{\partial y} + \frac{\partial \bar{\phi}_z}{\partial z} \quad (\text{eq. vettoriale})$$

↳ EQUAZIONE INDEFINITA DELLA DINAMICA DEI FLUIDI ↳

Con questa equazione dico che il fluido segue l'equazione di Newton, ma devo dire anche che non si creano buchi → inserisco la legge di continuità:

$$\frac{\partial \rho}{\partial t} + \text{div}(\rho \vec{u}) = 0 \quad (\text{eq. scalare})$$

La dinamica dipende dagli sforzi:

$$\rho = \rho(\bar{\phi}_x, \bar{\phi}_y, \bar{\phi}_z) \quad (\text{eq. scalare})$$

Ho così 5 equazioni scalari, visto che quella indefinita è vettoriale:

3 eq + eq. continuità + sforzi

→ INCOGNITE:  $\rho, (u, v, w), (\phi_{xx}, \phi_{yy}, \phi_{zz}, \phi_{xy}, \phi_{xz}, \phi_{yz}, \dots)$

Mancano 5 vincoli, → xkè ho 10 incognite

↓  
(5 vincoli già ce li ho → 5 eq. scalari)

Integrando l'equazione di Eulero

$$\underbrace{\int_V \rho \vec{F} dV}_{(\alpha)} - \underbrace{\int_V \rho \vec{A} dV}_{(\beta)} = \underbrace{\int_V \left( \frac{\partial \vec{\phi}_x}{\partial x} + \frac{\partial \vec{\phi}_y}{\partial y} + \frac{\partial \vec{\phi}_z}{\partial z} \right) dV}_{(\gamma)}$$

info.

(α)  $\int_V \rho \vec{F} dV$  risultante delle forze di massa  $\rightarrow$  peso totale della massa fluida  $\vec{P}$

(δ) Teorema di GREEN

$$\int_V \left( \frac{\partial \vec{\phi}_x}{\partial x} + \frac{\partial \vec{\phi}_y}{\partial y} + \frac{\partial \vec{\phi}_z}{\partial z} \right) dV = - \int_{\Omega} \left( \vec{\phi}_x \cos \hat{m}_x + \vec{\phi}_y \cos \hat{m}_y + \vec{\phi}_z \cos \hat{m}_z \right) d\Omega$$

$\vec{\phi}_m$

$$= - \int_{\Omega} \vec{\phi}_m d\Omega = -\vec{F}_c$$

$\uparrow$  forze al contorno  
risultante delle forze di superficie

on

(β)  $-\int_V \rho \vec{A} dV = -\int_V \rho \left( \frac{\partial \vec{u}}{\partial t} + u \frac{\partial \vec{u}}{\partial x} + v \frac{\partial \vec{u}}{\partial y} + w \frac{\partial \vec{u}}{\partial z} \right) dV =$

te

$$= -\int_V \left( \rho \frac{\partial \vec{u}}{\partial t} + \rho u \frac{\partial \vec{u}}{\partial x} + \rho v \frac{\partial \vec{u}}{\partial y} + \rho w \frac{\partial \vec{u}}{\partial z} \right) dV =$$

$$\frac{\partial (\rho u \vec{u})}{\partial x} - \vec{u} \frac{\partial \rho u}{\partial x}$$

$$= -\int_V \left( \rho \frac{\partial \vec{u}}{\partial t} + \frac{\partial (\rho u \vec{u})}{\partial x} + \frac{\partial (\rho v \vec{u})}{\partial y} + \frac{\partial (\rho w \vec{u})}{\partial z} - \vec{u} \left( \frac{\partial \rho u}{\partial x} + \frac{\partial \rho v}{\partial y} + \frac{\partial \rho w}{\partial z} \right) \right) dV$$

$$+ \frac{\partial \rho v}{\partial y} + \frac{\partial \rho w}{\partial z}$$

$$- \vec{u} \operatorname{div}(\rho \vec{u}) \rightarrow + \vec{u} \frac{\partial \rho}{\partial t}$$

$$\vec{\Pi} = \int_{\Omega} \rho \vec{u} v_m d\Omega$$

↑  
superficie di contorniamento

$$\Omega = \Omega_e + \Omega_u + \Omega_o$$

$$= \underbrace{\int_{\Omega_e} \rho \vec{u} v_m d\Omega_e}_{\vec{\Pi}_e} + \underbrace{\int_{\Omega_u} \rho \vec{u} v_m d\Omega_u}_{-\vec{\Pi}_u} + \int_{\Omega_o} \rho \vec{u} v_m d\Omega_o = 0$$

dunque in generale:

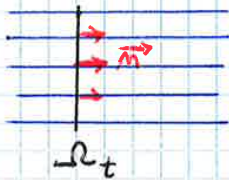
$$\vec{P} + \vec{F}_c + \vec{I} + \vec{\Pi}_e - \vec{\Pi}_u = 0$$

↑ è contenuta la statica ( $\vec{P} + \vec{F}_c = 0$ )

EQ. GLOBALE  
DELLA DINAMICA DEI FLUIDI

(equazione vettoriale)

• Le correnti: voglio valutare  $\vec{\Pi}$  su una superficie trasversale (piana)



su  $\Omega$

$\rho = \text{cost}$  (fluido incompressibile)

$\Pi = ?$

↑ che c'è solo  $\vec{m}$

$$\int_{\Omega_t} \rho \vec{u} v_m d\Omega = \rho \int_{\Omega_t} \vec{u} v_m d\Omega = \rho \cdot \vec{m} \int_{\Omega_t} u^2 d\Omega$$

pu troppo non so com'è la  $u$  nella corrente  $\Rightarrow$

non lo so fare

$$\Rightarrow \frac{\int_{\Omega_t} u^2 d\Omega}{U^2 \Omega} = \beta \rightarrow ?$$

non so calcolarlo  
ammettendo che c'è la stessa velocità  
 $\Rightarrow$  so calcolarlo

$$\Rightarrow \int_{\Omega_t} u^2 d\Omega = \beta \cdot U^2 \Omega$$

↑ velocità media

coefficiente che non riesco a calcolarlo teoricamente  
ma lo procuro sperimentalmente

# FLUIDI PERFETTI E LA LORO DINAMICA

## 5. TEOREMA DI BERNOULLI

(1) IPOTESI: fluido perfetto

$$\rho(\vec{F} - \vec{A}) = \text{grad } p$$

relazione di Eulero

(2) IPOTESI: siamo soggetti alla gravità

$$\vec{F} = \text{grad}(-gz)$$

con  $\uparrow z$

(3) IPOTESI: fluido perfetto incompressibile

$$\rho = \text{cost}$$

$$-\rho \text{grad}(gz) - \rho \vec{A} - \text{grad } p = 0$$

da (1) e (2)

$$\text{grad}(gz) + \text{grad } p + \rho \vec{A} = 0$$

con (3)

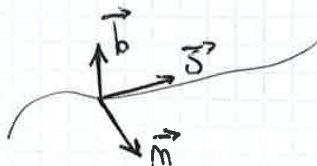
$$\text{grad } z + \text{grad}\left(\frac{p}{\rho}\right) + \left(\frac{\rho}{\rho}\right) \vec{A} = 0$$

divido per  $\rho$

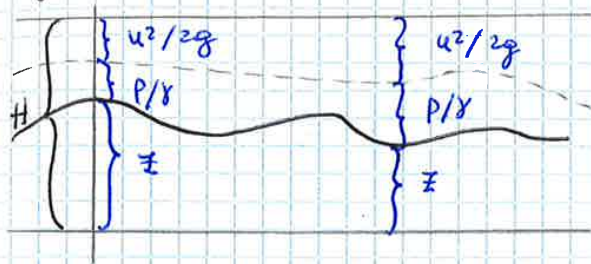
$$\text{grad}\left(\frac{p}{\rho} + z\right) = -\frac{1}{\rho} \vec{A} \rightarrow \text{eq. vettoriali}$$

carico piezometrico

Considero 1 generica traiettoria di 1 particella e considero una forma intrinseca



→ geometricamente



$H = \text{cost}$  = dire che l'energia è cost

dimensioni di lunghezza  
 $z, \frac{u^2}{2g}, \frac{p}{\rho}$  possono variare ma la loro somma rimane cost

$z =$  energia potenziale della particella per unità di peso

$$mgz = E_p$$

$$\frac{mgz}{mg} = z$$

Dicendo che il fluido è perfetto sto dicendo che la viscosità è nulla, dunque posso dire che l'energia meccanica si conserva.

Così l'eq. di Eulero contiene già la conservazione di massa

$$\frac{\frac{1}{2} m u^2}{mg} = \frac{u^2}{2g} \quad \left. \begin{array}{l} \text{energia cinetica} \\ \text{altezza cinetica} \end{array} \right\}$$

{ pressione = effetto macroscopico }  
 (non esiste a scala microscopica) ↓  
 per interpretare cosa succede a livello microscopico ( $E_p$  ed  $E_k$ )

# Applicazioni

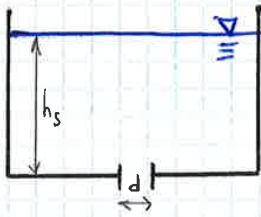
FORONOTA = massa fluida nei serbatoi con dei buchi

$FORI = LUCI$



LUCI SOTTOBATTENTI → se foro <sup>tutto</sup> sotto il fluido (altrimenti NON SOTTOBATTENTI)

## ↑ ESEMPIO 1

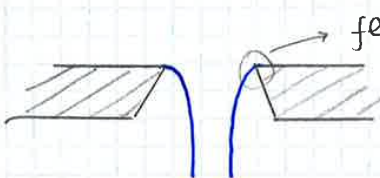


$Q = ?$

→ devo formulare delle ipotesi per rispondere:

(1)  $V_s \Rightarrow h_s \gg d$  (altrimenti si innescano meccanismi + complicati)

(2) LUCE A SPIGOLO VIVO



fluidi mai uno spigolo  $\Gamma$  perché  $r=0$  e  $a_c = \infty$  non ha senso fisico

si stacca un getto a geometria cost

(soluzione con foro cilindrico, getto

instabile → onde → non posso applicare Bernoulli)

(3) SEZIONE CIRCOLARE

Se il foro fosse a spigolo vivo e QUADRATO (al posto di CIRCOLARE)



→ fa cose strane il getto

→ sezione circolare + semplice

$$\Rightarrow u_B = \sqrt{2g [h_s + (1 \div 2)d]}$$

Tutti i punti del getto hanno  
stessa velocità e pressione nulla

per  $h_s \gg d$

$$u_B = \sqrt{2gh_s}$$

VELOCITÀ TORRICELLIANA

dunque  $u_B = C_v \sqrt{2gh_s}$

↑  
Coefficiente correttivo (  $C_v \approx 0.99$  )  
misurato sperimentalmente  
↑ 1% tolta dalla viscosità

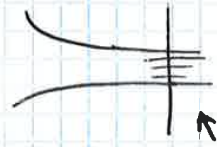
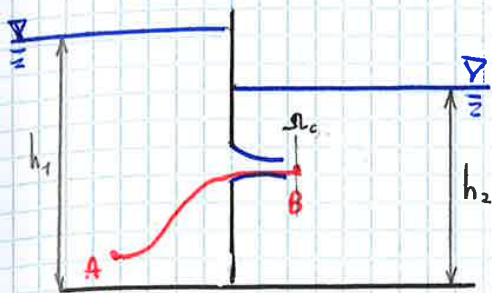
$$Q = \Omega_e u_B = C_c \frac{\pi d^2}{4} C_v \sqrt{2gh_s}$$

coefficiente di contrazione (getto tende a chiudersi)  
( $\approx 0.61 \rightarrow$  da esperimenti)

$$Q = 0.6 \frac{\pi d^2}{4} \sqrt{2gh_s}$$

la  
Q  
sezione  
non  
= cost

◆ ESEMPIO 3



tutti i punti dentro il getto hanno carico piezometrico  $h_2$

Posso applicare Bernoulli

$H_A = H_B$

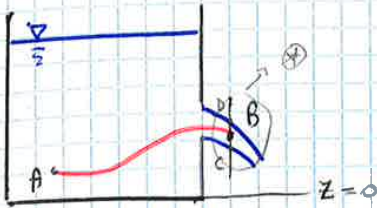
$$\underbrace{z_A + \frac{p_A}{\gamma}}_{h_1} + \frac{u_A^2}{2g} = \underbrace{z_B + \frac{p_B}{\gamma}}_{h_2} + \frac{u_B^2}{2g}$$

$= 0$

$$u_B = \sqrt{2g(h_1 - h_2)}$$

a)  $Q = C_c \cdot u_B = C_c \cdot C_v \frac{\pi d^2}{4} \sqrt{2g(h_1 - h_2)}$

◆ ESEMPIO 5



Siamo sotto le ipotesi di Bernoulli:

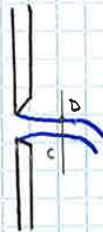
- viscosità trascurabile
- moto permanente
- fluido incomprimibile

$$P_c = P_b = P_{atm} = 0$$

$$\underbrace{z_A + \frac{P_A}{\gamma}}_{h_s} + \frac{u_A^2}{2g} = z_B + \frac{P_B}{\gamma} + \frac{u_B^2}{2g}$$

$= 0$

\*)

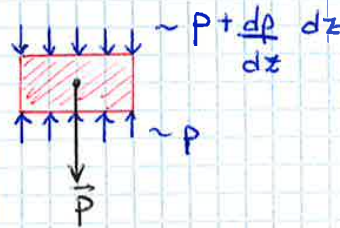
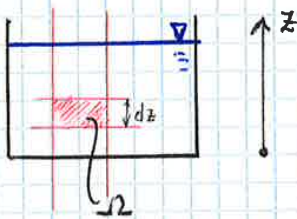


Non è vero che  $\exists$  una zona in cui le traiettorie sono rettilinee e parallele  $\rightarrow$  non si conserva il carico potenziale quindi non posso più riprodurre come nei casi di prima (con Bernoulli)

La pressione diventa un'incognita

Come procedere?

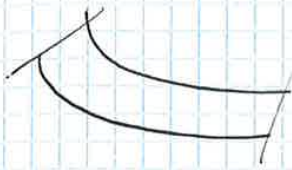
Consideriamo un fluido in statica



$$-\gamma l dz + p l - \left(p + \frac{dp}{dz} dz\right) l = 0$$

$$\frac{dp}{dz} = -\gamma \quad (\text{LEGGE DI STEVINO})$$

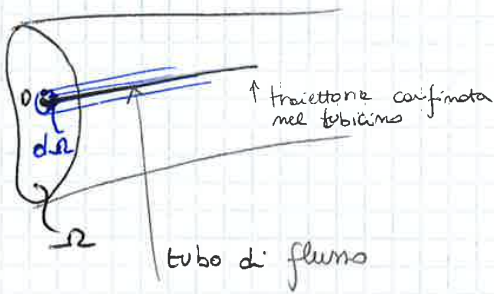
Voglio utilizzare Bernoulli utilizzando la velocità media cinetica  $U$   
 ma considerando più le traiettorie (ma considero variabili "globali")



$$\frac{U^2}{2g}; \quad \text{con } U = \frac{Q}{\Omega}$$

variabili locali:	variabili globali:
$P$	$Q$
$\vec{u}$	$U$
	$\Omega$

### ESTENSIONE DEL TEO DI BERNOULLI AD 1 CORRENTE



Sempre valide le ipotesi di Bernoulli:

•  $o$  = centro di  $d\Omega$

da  $d\Omega$  passa una portata  $dQ$

poiché Hp: moto permanente  $\Rightarrow \frac{\partial}{\partial t} = 0$

- eq. di continuità

$$\frac{\partial \rho Q}{\partial s} + \frac{\partial \rho \Omega}{\partial t} = 0$$

$\rho = \text{cost}$

la portata lungo  $s$  è sempre la stessa

$$\rho dQ = \rho d\Omega$$

portate in peso

massa nell'unità di tempo che passa nel tubicino  
 cost e uniforme nel tempo e nello spazio

$$P = \gamma Q \left( z + \frac{p}{\gamma} + \frac{\alpha U^2}{2g} \right) = \text{cost}$$

↑↑  
cost

⇒ deve essere cost

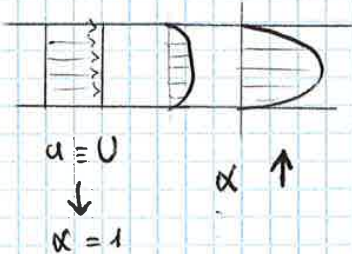
H → carico totale di una corrente (sezione per sezione) = cost

Quanto vale  $\alpha$ ?

$\alpha = \alpha$  (distribuzioni delle velocità lungo la sezione)

$\alpha = 1$  → se il profilo di velocità è uniforme (a  $\forall$  punto = cost)

Tanto + il profilo è disuniforme tanto +  $\alpha$  si allontana da 1



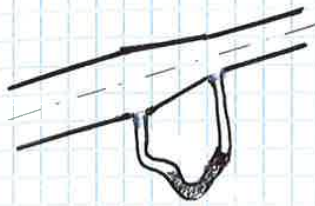
Nel moto turbolento →  $\alpha \cong 1$

Nel moto laminare (profilo velocità pronunciato) →  $\alpha = 2$

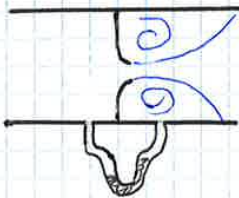
Tra  $\alpha$  e  $\beta$  vi è un legame

$$(\alpha - 1) = 3(\beta - 1)$$

sempre devo misurare  $h_1 - h_2 \rightarrow$  MANOMETRO DIFFERENZIALE  $\rightarrow$  misura del carico piez.  
misuro  $\Delta h$  e trovo la  $Q$

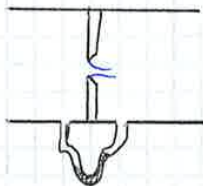


- BOCCAGLI



carico  $\alpha$

- DIAFRAGMI

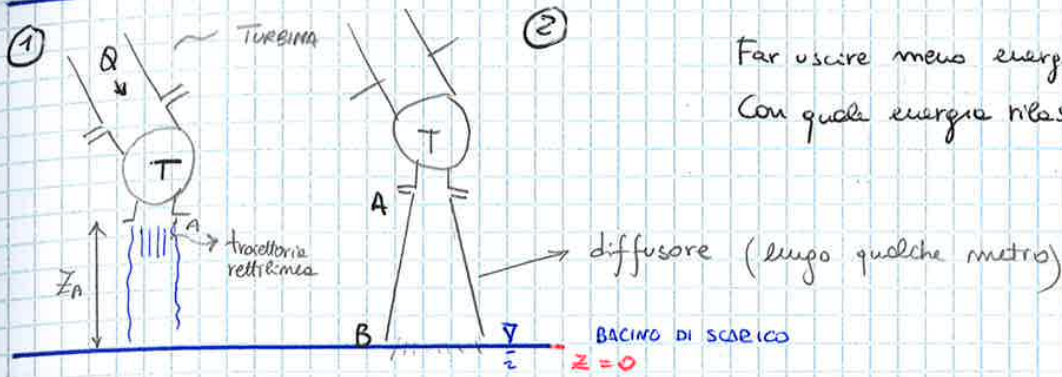


$\alpha$  ancora + alto



MISURO LA PORTATA

CENTRALI IDROELETTRICHE



Far uscire meno energia possibile.  
Con quella energia rilascano l'acqua

$$\textcircled{1} H = z_A + \frac{p_A}{\rho} + \frac{\alpha u_A^2}{2g}$$

$\begin{matrix} \swarrow \\ \searrow \end{matrix} \begin{matrix} = 0 \\ = 0 \end{matrix}$

$$\textcircled{2} H_A = H_B$$

$$H_B = \frac{z_B}{0} + \frac{p_B}{0} + \frac{\alpha u_B^2}{2g}$$

$$\text{im(A)} \quad z_A + \frac{p_A}{\rho} + \frac{\alpha u_A^2}{2g}$$

$$\Rightarrow H_A = \frac{\alpha u_B^2}{2g}$$

$$H_{A\textcircled{2}} < H_{A\textcircled{1}}$$

↓  
porta via + energia  
nel 2° caso perché  
manca  $z_A$  e anche  
perché  $u_B <$

L'equazione (1) integrata da come risultato:

$$\vec{P} + \vec{F}_c + \vec{I} + \vec{M}_e - \vec{M}_u = 0$$

Com l'ipotesi di fluido perfetto  $\rightarrow \rho = \text{cost}$ :

$$\vec{F}_c = \int_{\Omega} \vec{\phi}_m d\Omega = \int_{\Omega} p \vec{n} d\Omega = \vec{N}$$

↑ forze al contorno normali.

(Nel caso di Eulero  $\vec{\phi}_m = p \vec{n}$ )

L'equazione (2) integrata:

$$\vec{P} + \vec{N} + \vec{I} + \vec{M}_e - \vec{M}_u = 0$$

L'equazione (3) integrata:

$$\vec{P} + \vec{N} - \vec{T} + \vec{I} + \vec{M}_e - \vec{M}_u = 0$$

EQUAZIONE DEFINITA  
DI NAVIER-STOKES

effetto  
della  
viscosità

Forze al contorno

perché cost perché non considero la temperatura

$$\int_V \mu \nabla^2 u dV = \mu \int_V \left( \frac{\partial^2 u}{\partial x^2} + \frac{\partial^2 u}{\partial y^2} + \frac{\partial^2 u}{\partial z^2} \right) dV$$

Per il TEOREMA DI GREEN

$$= -\mu \int_{\Omega} \left( \frac{\partial^2 u}{\partial x^2} \cos \hat{m}_x + \frac{\partial^2 u}{\partial y^2} \cos \hat{m}_y + \frac{\partial^2 u}{\partial z^2} \cos \hat{m}_z \right) d\Omega$$

$$= -\mu \int \frac{\partial u}{\partial m} d\Omega = -\vec{T}$$

↑ forze tangenziali

$$\vec{F}_c = \vec{N} - \vec{T}$$

$$\tau = \mu \frac{du}{dy}$$

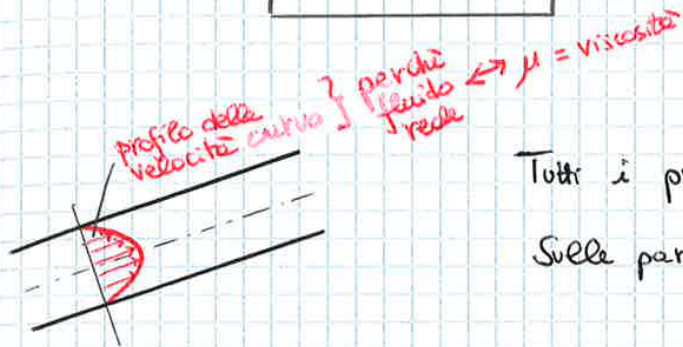
Quello che succede all'interno  
del volume non importa nulla

Integrando:

$$H(s) = H(s=0) - \int i(s) ds$$

In caso di CORRENTI CILINDRICHE  $\Rightarrow$   $i$  non è funzione di  $s \rightarrow$  posso portarla fuori

$$H(s) = H_0 - i s$$

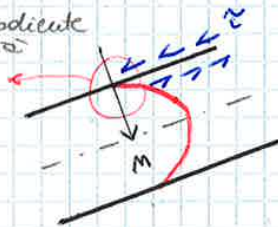


Tutti i punti e alle pareti  $\Rightarrow$  hanno tutti la stessa velocità

Sulle pareti  $\rightarrow = 0$

C'è un gradiente di velocità

$$\frac{du}{dm}$$



Ci sono delle tensioni  $\tau$  che si scambiano tra la parete e il fluido

Sono le tensioni  $\tau$  le principali cause della dissipazione (non sono solo sulle pareti, ma anche all'interno ma di entità minori)

AZIONE DI TRASCINAMENTO / FRENO TRA FLUIDO E PARETE

$\rightarrow$  USO l'equazione integrata di NAVIER-STOKES

$$T = \gamma \Omega (h_1 - h_2) = \gamma \Omega i L$$

tanto +  $T \uparrow \Rightarrow$  tanto +  $i \uparrow \parallel \gamma \Omega L \rightarrow$  <sup>Peso del</sup> Volume di fluido  $\cdot i$   
 $\Rightarrow$  variazione di energia di tutto il volume

OSSERVAZIONE

ricorda che  $L$  non è orizzontale ma è il percorso del fluido

$$\tau = \frac{T}{L \cdot P} = \frac{\gamma \Omega i L}{L \cdot P} = \gamma i \frac{\Omega}{P} = R \Rightarrow \boxed{\tau = \gamma i R}$$

TENSIONI TANGENZIALI

superficie laterale

$\uparrow$  importante per caratterizzare il comportamento di una corrente

$P =$  CONTORNO BAGNATO (CONTORNO SEZIONE  $\rightarrow$  lunghezza circonferenza)

RAGGIO IDRAULICO

$$\boxed{R = \frac{\Omega}{P}}$$

$\Omega$  e  $P \rightarrow$  caratteristiche della sezione

zona dove si esplicano le tensioni  $t_g$

$\Rightarrow$  le  $\tau$  dipendono dalle caratteristiche della sezione

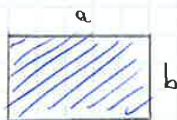
esempio cerchio:



SEZIONE CIRCOLARE

$$R = \frac{\Omega}{P} = \frac{\pi r^2}{2\pi r} = \frac{r}{2} = \frac{d}{4}$$

rettangolo:



$$R = \frac{\Omega}{P} = \frac{a \cdot b}{2(a+b)}$$

se  $a \gg b \Rightarrow \frac{a \cdot b}{2a} \approx \frac{b}{2}$

poor efficiente

$$R = \frac{\text{capacità della sezione di trasportare 1 portata}}{\text{quanto è il perimetro che cerca di frenare} (\tau)}$$

$\Rightarrow$  efficienza della sezione

SEZIONE + efficiente

$\rightarrow$  a parità di perimetro hanno sezioni (area) maggiore (R)

7.

**MOTO FLUIDO VISCOSO** (ma vale anche per i perfetti)

**MOTO LAMINARE**

(semplice)

**MOTO TURBOLENTO**

(complesso)

◇ ADIMENSIONALIZZAZIONE

↳ (strumento per analizzare le equazioni differenziali)

$$\rho(\vec{F} - \vec{A}) = \text{grad } p - \mu \nabla^2 \vec{u}$$

equazione di NAVIER-STOKES

ci sarà una scala tipica delle lunghezze  $l, u_0$  (es. aeroplano, fazzoletto)

scala dei tempi  $t = \frac{l}{u_0}$

↑ velocità riferita a quella scala

introduco una scala delle pressioni  $p_0 = \rho u_0^2$   
 diventa scala delle velocità

→ nel mio problema avrò sicuramente una  $(x, y, z)$

⇒ adimensionalizzo

$$\begin{cases} \tilde{x} = \frac{x}{l} \\ \tilde{y} = \frac{y}{l} \\ \tilde{z} = \frac{z}{l} \end{cases}$$

si muove su valori completamente diversi

⇒ così che

$$0 < \tilde{x} < 1$$

$$0 < \tilde{y} < 1$$

$$0 < \tilde{z} < 1$$

$$\begin{cases} \tilde{u} = \frac{u}{u_0} \\ \tilde{v} = \frac{v}{u_0} \\ \tilde{w} = \frac{w}{u_0} \end{cases}$$

proietta il campo di moto nello stesso range →  $(0, 1)$

$$\tilde{t} = \frac{t}{\frac{l}{u_0}}$$

$$\tilde{p} = \frac{p}{\rho u_0^2}$$

→ il problema così si somiglia sia a piccola che a grande scale

- (1) ho diviso per  $\rho$
- (2) rischio nelle variabili adimensionali
- ↓ tutte queste derivate  $\in (0; 1)$
- ⇒ ora posso confrontarle perché variano nello stesso intervallo

↓  
 si distingue tutta la meccanica dei fluidi da 2 coefficienti:

$\frac{g l}{u_0^2} \rightarrow$  numero di Froude =  $Fr = \frac{u_0}{\sqrt{g l}}$  (importante per i moti ondosi)

$Re = \frac{u_0 l}{\nu} = \frac{\rho u_0 l}{\mu} =$  numero di Reynolds [-]

$Re = \frac{\text{FORZE INERZIA agenti sul fluido}}{\text{FORZE VISCOSE}}$   
 mascono per  $\tau = \mu \frac{\partial u}{\partial y}$  <sup>scale</sup>

⇒  $Re = \frac{\rho l^3 \frac{u_0}{l/u_0}}{(\mu \frac{u_0}{l}) l^2} = \frac{\rho u_0 l}{\mu}$

Per  $Re \uparrow \Rightarrow F_{inerzia}$  più importanti  
 Per  $Re \downarrow \Rightarrow F_{viscose}$  più importanti

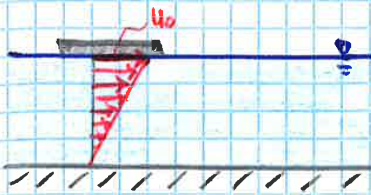
Finerzia trascurabili	Finerzia importanti	Finerzia importanti	→ Re
Fviscose importanti	Fviscose importanti	Fviscose trascurabili	

La cosa che importa dunque è il no di Re

7.

**MOTO LAMINARE**

**CORRENTI IN PRESSIONE**



(come tante lamine sovrapposte)

moto regolare → traiettorie // senza mischiarsi  
ognuna con la sua direzione e velocità

moto semplice

TUBO CIRCOLARE →



Lo vedo quando Re basso

$$Re = \frac{\rho U \cdot D}{\mu} \approx 2000$$

→ moto laminare e stabile



soglia per un tubo circolare



Re soglia

↑  
F viscosità tangenziale  
d'ordine 1

↑  
F inerzia → caos

Fluidi viscosi  
(come gli oli)

Qual'è l'andamento della velocità all'interno?

$$u = u(r)$$

$$v = w = 0$$

$$u(r=R) = 0$$

Le  $\tau$  ricavate sono di natura viscosa

C'è un gradiente normale  $\rightarrow$  dalla legge di Newton:

$$|\tau| = \mu \left| \frac{du}{dr} \right|$$

$\Downarrow$

mi aspetto che la  $u \rightarrow$  abbia un profilo parabolico (conica con top linear)

$\rightarrow$  dalle tensioni:

$$\vec{T} = \mu \int_{\Omega} \frac{\partial \vec{u}}{\partial m} d\Omega$$

$\rightarrow$  tutti i gradienti di velocità  
 $\rightarrow$  sezione laterale cilindrica

$\downarrow$  da qui ricavo quindi la velocità

$$= \mu \frac{du}{dm} \underbrace{2\pi r L}_{\int_{\Omega} d\Omega}$$

$$T = -\mu \frac{du}{dr} 2\pi r L$$

perché  $T = \gamma \pi r^2 \rho L$

$$-\mu \frac{du}{dr} 2\pi r L = \gamma \pi r^2 \rho L$$

$$\frac{du}{dr} = -\frac{\gamma \rho}{2\mu} r \quad \left. \vphantom{\frac{du}{dr}} \right\} \text{eq diff a variabili separabili}$$

$$u(r) = -\frac{\gamma \rho}{4\mu} r^2 + \text{cost} \quad \rightarrow \text{legge quadratica}$$

$T =$  risultante di tutte le  $\tau$



cerchio

che equidista dall'asse (simmetria)  $\left\{ \begin{array}{l} \text{tutti questi} \\ \text{punti vedono} \\ \text{lo stesso} \end{array} \right.$   
non dipende dal  $d\Omega$  e lo passo portare fuori:  $\left\{ \frac{du}{dm} \right.$

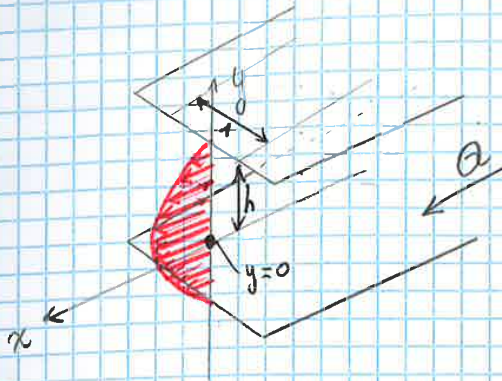
$\vec{m}$  è entrante

$$r = -n + \text{cost}$$

$\downarrow$

$$dr = -dn$$

MOTO FLUIDO LAMINARE TRA 2 PIANI PARALLELI DI LUNGHEZZA  $\infty$



$u = u(y) = ?$

$\rho (\vec{F} - \vec{A}) = \text{grad } p - \mu \nabla^2 \vec{u}$

$$\gamma \frac{\partial}{\partial x} \left( z + \frac{p}{\gamma} \right) - \mu \nabla^2 u = -\rho \frac{Du}{Dt} = 0$$

$$\frac{\partial^2 u}{\partial x^2} + \frac{\partial^2 u}{\partial y^2} + \frac{\partial^2 u}{\partial z^2}$$

$$\frac{Du}{Dt} = \frac{\partial u}{\partial t} + \frac{\partial u}{\partial x} u + \frac{\partial u}{\partial y} v + \frac{\partial u}{\partial z} w$$

Annotations:   
 -  $\frac{\partial^2 u}{\partial x^2} = 0$    
 -  $\frac{\partial^2 u}{\partial z^2} = 0$    
 -  $\frac{\partial u}{\partial t} = 0$  (moto stazionario)   
 -  $\frac{\partial u}{\partial x} u = 0$  (non cambia con x)   
 -  $\frac{\partial u}{\partial y} v = 0$  (si muove lungo x)   
 -  $\frac{\partial u}{\partial z} w = 0$  (moto piano)

$$\Rightarrow \gamma \frac{\partial}{\partial x} \left( z + \frac{p}{\gamma} \right) = \mu \frac{d^2 u}{dy^2}$$

poiché  $i = - \frac{\partial h}{\partial x}$

$$-\gamma i = \mu \frac{d^2 u}{dy^2}$$

$$\frac{d^2 u}{dy^2} = - \frac{\gamma i}{\mu}$$

eq. diff. di 2° grado

CONDIZIONI AL CONFINAMENTO

(1) fluido ottacca alle 2 pareti

$$u(y = \pm h) = 0$$

(2) per la simmetria

$$\frac{du}{dy} \Big|_{y=0} = 0$$

T come lo scelgo? *Tempo su cui voglio fare la media*

Questo ragionamento va bene purché T sia un tempo abbastanza lungo per conoscerne tutte le manifestazioni.

Ogni volta che aumento T vedo nuove cose che prima non vedevo, dunque non c'è un T preciso da usare, ma occorre un tempo so per sapere cosa accade e come cambia il fluido.

Appena inizia un moto vario il ragionamento sulla media non va più bene

$$u(t) = \bar{u} + u'$$

*valore di oscillazione intorno alla media* → *componenti di agitazione turbolente*

SCOMPOSIZIONE DI REYNOLDS

$$\begin{aligned} \tilde{u}(t) &= U + u \\ \tilde{p}(t) &= P + p \end{aligned} \quad \left. \vphantom{\begin{aligned} \tilde{u}(t) &= U + u \\ \tilde{p}(t) &= P + p \end{aligned}} \right\} \text{cioè somma di un valore medio ed agitazione}$$

→ NAVIER-STOKES

$$\rho(\vec{F} - \vec{A}) = \text{grad } \tilde{p} - \mu \nabla^2 \tilde{u}$$

→ EQUAZIONE DI CONTINUITÀ

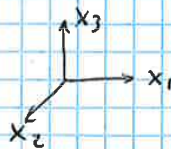
$$\rho = \text{cost}$$

$$\text{div } \tilde{u} = 0$$

$$\frac{\partial \tilde{u}}{\partial x} + \frac{\partial \tilde{v}}{\partial y} + \frac{\partial \tilde{w}}{\partial z} = 0$$

*cambio notazione*

$$\vec{u} = (u_1, u_2, u_3)$$



Vale anche

$$\frac{\partial u_i}{\partial x_i} = 0$$

anche la divergenza delle oscillazioni turbolente è nulla

Eq. DI NAVIER-STOKES

$$\rho(\vec{F} - \vec{A}^*) = \text{grad } p - \mu \nabla^2 \vec{u}$$

$$\frac{\partial \tilde{u}_i}{\partial t} + \tilde{u}_j \frac{\partial \tilde{u}_i}{\partial x_j} = -\frac{1}{\rho} \frac{\partial \tilde{p}}{\partial x_i} + \nu \frac{\partial^2 \tilde{u}_i}{\partial x_i \partial x_j} + G$$

$$\frac{D u_i}{D t} = A_i = \frac{\partial u_i}{\partial t} + \left( u_1 \frac{\partial u_i}{\partial x_1} + u_2 \frac{\partial u_i}{\partial x_2} + u_3 \frac{\partial u_i}{\partial x_3} \right)$$

Introduco la decomposizione

$$\frac{\partial (U_i + u_i)}{\partial t} \dots$$

al posto di  $\vec{u} = U + u$

EQ. NAVIER-STOKES DEL MOTO MEDIO (presenze della turbolenza)

$$\frac{\partial U_i}{\partial t} + U_j \frac{\partial U_i}{\partial x_j} + \frac{\partial \overline{u_i u_j}}{\partial x_j} = -\frac{1}{\rho} \frac{\partial P}{\partial x_i} + \nu \frac{\partial^2 U_i}{\partial x_i \partial x_j} + G$$

generato da ③ → termine non lineare (Scala grande legata a quella piccola e viceversa)

Se il fluido è comprimibile il termine 3 ≠ 0 perché nascerrebbero delle correlazioni tra  $\rho$  e  $v$  (vale lo stesso per  $v$ )

$$\rho \left( \frac{\partial U_i}{\partial t} + U_j \frac{\partial U_j}{\partial x_j} \right) = -\frac{\partial P}{\partial x_i} - \rho \frac{\partial \overline{u_i u_j}}{\partial x_j} + \mu \frac{\partial^2 U_i}{\partial x_j \partial x_j} + G$$

EQUAZIONE CHE REGOLA IL MOTO MEDIO

$$\rho \frac{DU_i}{Dt} = -\frac{\partial}{\partial x_i} [\tau_{ij}] + G$$

→ come cambia la velocità

TENSORE sforzi

$$\text{con } \tau_{ij} = p + \rho \overline{u_i u_j} - \mu \left( \frac{\partial U_i}{\partial x_j} + \frac{\partial U_j}{\partial x_i} \right)$$

[quello che conta è il gradiente spaziale della pressione]

pressioni (sforzi normali)

tensioni viscose  $\tau$  (legge di Newton)

tensioni turbolente  $\tau$  generate dalla crosscorrelazioni (quanto sono correlate le oscillazioni delle portelle)

$\tau_{turb} \gg \tau_{viscose}$  (conta quasi nulla)

TENSIONI DI Reynolds

↑ generate dal termine non lineare

SCALE INTERMEDIE :

- uguali, perché non risentono delle condizioni al contorno (hanno perso delle informazioni)  
compito di passare l'energia

SCALE VISCOSE

→ MICROSCALA

SCALE PICCOLE

$$(1) \begin{cases} \log q_1 = \alpha_1 \log \lambda + \beta_1 \log \tau + \gamma_1 \log \mu \\ \log q_2 = \alpha_2 \log \lambda + \beta_2 \log \tau + \gamma_2 \log \mu \\ \log q_3 = \alpha_3 \log \lambda + \beta_3 \log \tau + \gamma_3 \log \mu \end{cases} \quad \left( \text{trasformo il sist non lineare in lineare} \right)$$

$$(2) \begin{cases} \log \lambda = \delta_1 \log q_1 + \epsilon_1 \log q_2 + \omega_1 \log q_3 \\ \log \tau = \delta_2 \log q_1 + \epsilon_2 \log q_2 + \omega_2 \log q_3 \\ \log \mu = \delta_3 \log q_1 + \epsilon_3 \log q_2 + \omega_3 \log q_3 \end{cases}$$

Per poter passare da 1 tema ad un'altro (da (1) → (2)) quando:

det delle dimensioni delle grandezze nuove è  $\neq 0$

$$\begin{vmatrix} \alpha_1 & \beta_1 & \gamma_1 \\ \alpha_2 & \beta_2 & \gamma_2 \\ \alpha_3 & \beta_3 & \gamma_3 \end{vmatrix} \neq 0$$

Nel mondo (1) Buckingham ci dice che:  $(m+1)$  dimensioni

data una grandezza  $y = f(Q_1, Q_2, \dots, Q_m)$  LEGAME FUNZIONALE

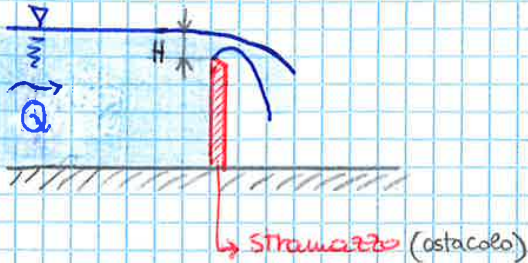
↑ complicate e non nota

allora scelgo  $(Q_1, Q_2, Q_3)$  come grandezze fondamentali e poi proietto tutte le grandezze sulla nuova tema fondamentale

$$\underbrace{\frac{y}{Q_1^\alpha Q_2^\beta Q_3^\gamma}}_{N[-]} = g \left( Q_1, Q_2, Q_3, \frac{Q_4}{Q_1^{\alpha_4} Q_2^{\beta_4} Q_3^{\gamma_4}}, N_5, \dots, N_m \right)$$

Risolvo il problema : - spazio < dimensioni:  
 - cambio argomenti adimensionali: ( $\Rightarrow Re$ )  
 ( $\Rightarrow$  basta cambiare  $D, U$  e non necessariamente  $\rho, \mu$ )

◊ esempio : canale



$$H \xrightarrow{\text{legato}} Q$$

(fluido in moto turbolento)

dominio non moto  $\rightarrow$   $\times$  parte della soluzione stessa  
 $\downarrow$   
 PROBLEMA A FRONTIERA LIBERA

EQ. NAVIER-STOKES regola il problema  $\leftrightarrow$  non risolvibile

$\Rightarrow$  faccio degli esperimenti:

$$Q = f(H, L, g, \nu)$$

lunghezza straitazzo

$\nu$  ke Reynolds alto

$$f \rightarrow [L, T]$$

$\downarrow$   
 4 dimensioni

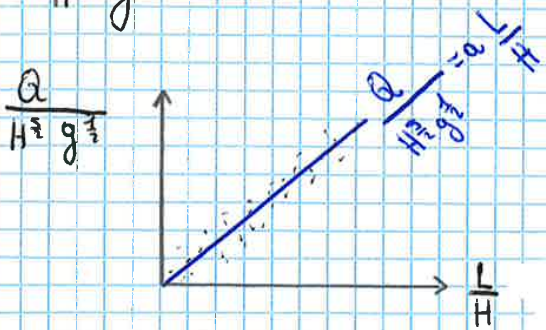
$\downarrow$  Teo.  $\Pi$

$$[H, g] \leftarrow \text{proietto } Q$$

$\downarrow$

$$\frac{Q}{H^{5/2} g^{1/2}} = h \left( \frac{L}{H} \right)$$

$h \rightarrow$  2 dimensioni



$\rightsquigarrow$  basta cambiare  $H$  aprendo e chiudendo il rubinetto a monte

cost (coeff angolare retta)

$$Q = a H \sqrt{g H} L$$

LEGGE DELLO STRAITAZZO